



AL-Rafidain
University College

PISSN: (1681-6870); EISSN: (2790-2293)

مجلة كلية الرافدين الجامعة للعلوم

Available online at: <https://www.jrucs.iq>

JRUCS

Journal of AL-Rafidain
University College for
Sciences

تأثير نسب التلوث على نموذج الطلب البيولوجي للأوكسجين في الدفعات المائية

أ.م.د. نزار مصطفى الصراف

nazaralsarraf@ruc.edu.iq

أ.د. محمود جواد ابو شعير

dean@ruc.edu.iq

كلية الرافدين الجامعة، بغداد، العراق

أ.م.د. وليد عبدالله ارحيمه

dr.waleed@mtu.edu.iq

الكلية التقنية الادارية - الجامعة التقنية الوسطى، بغداد، العراق

معلومات البحث

تواتر البحث

تاريخ تقديم البحث: 2022/12/17

تاريخ قبول البحث: 2023/3/3

تاريخ رفع البحث على الموقع: 2023/12/31

الكلمات المفتاحية

الطلب البيولوجي للأوكسجين، نموذج الطلب،
الربعات الصغرى اللاخطية، متوسط
مربعات الخط، التلوث المائي

للمراسلة:

أ.م.د. وليد عبدالله ارحيمه

dr.waleed@mtu.edu.iq

<https://doi.org/10.55562/jrucs.v54i1.589>

المستخلص

يعد نموذج الطلب البيولوجي للأوكسجين (Biochemical Oxygen Demand) من النماذج المهمة والذي من خلاله يمكن تحديد صلاحية الدفعات المائية للإطلاق وصحة هذه الدفعات المائية للحياة البيولوجية وان تقدر نسبة الطلب البيولوجي للأوكسجين في الدفعات المائية يمكن ان يتم من خلال عدة طرائق تقدر منها (المربعات الصغرى اللاخطية (Non-linear Ordinary Least Square Method)) والوصول الى مقدرات اقرب الى الواقع مهم جدا في تحديد صلاحية الدفعات المائية وبالتالي اطلاقها، اظهرت النتائج تأثر مقدار نموذج الطلب البيولوجي للأوكسجين بنسب التلوث المختلفة، تمت المقارنة بين طرائق التقدير المختلفة والوصول الى المقدار الافضل للطلب البيولوجي للأوكسجين ويمكن الاعتماد على طرائق اخرى منها (البيزية والمقلصة) والمقارنة مع النتائج الحالية

1. مشكلة البحث (Problem of Research)

تمثل مشكلة البحث في ان تقديرات متطلبات الاوكسجين البيولوجي تتأثر بالتلويث الحاصل في الدفعات المائية وبالتالي فان قرار اطلاق او ايقاف دفعات مائية الى الانهار يمكن ان يساهم في عدد من المشاكل البيئية ويمكن ان يؤدي الى حصول كوارث للحياة في البيئة المائية خاصة مع وجود شحة في الموارد المائية

2. هدف البحث (Objective of Research)

يهدف البحث الى التعرف على تأثير مقدار الاوكسجين البيولوجي في الماء بالتلويث الحاصل في الدفعات المائية وبالتالي الوصول الى قرار سليم فيما يتعلق بايقاف دفعه مائية ملوثة لامتناك مقدار الاوكسجين المطلوب او اطلاق دفعه مائية الى الانهار لامتناك مقدار الاوكسجين الملائم.

3. اهمية البحث (Importance of Research)

ان المياه هي عصب الحياة وبدونها تفقد الحياة معناها ولهذا فان قرار ايقاف او اطلاق دفعه مائية الى النهر يجب ان يكون دقيقاً ومعتمداً على حسابات دقيقة لمقدار الاوكسجين المذاب والصالح وفقاً لنسب محددة وصححة.

4. مقدمة عامة (General Introduction)

يمثل نموذج متطلبات الاوكسجين البيولوجي المذاب في الماء من النماذج المهمة والتي لاقت الاهتمام الواسع كونها تؤثر على قرار ايقاف او اطلاق الدفعات المائية في الانهار وبالتالي تؤثر على البيئة. وفي سبيل ذلك تم اجراء العديد من البحوث منها:

- البحث المقدم من قبل (Jin Hur) وآخرين في العام (2010) والذي تضمن مراقبة جودة المياه في الوقت الحقيقي لنظام الصرف الصحي لتحقيق الكفاءة إلى شبكة الصرف الصحي لأنّه يوفر معلومات عن التحميل الدقيق للملوثات إلى معالجة مياه الصرف الصحي وتأثير التحميل على استقبال المياه. في هذه الدراسة، تم فحص أطيفات التأثير المتزامن ومشتقاته الأولى باستخدام رقم عينات مياه الصرف الصحي التي تم جمعها في أنظمة الصرف الصحي في المناطق الحضرية وغير الحضرية، وتم استكشاف ميزة التأثير المثالي لتقدير الأوكسجين الكيميائي الحيوي تركيزات الطاب (BOD) والطلب الكيميائي للأوكسجين (COD) لعينات المجرى [3].
- البحث المقدم من قبل (Rahim Sibil) وآخرين في العام (2014) والذي تضمن أحد أكثر الاختبارات شيوعاً لتحديد القوة والمحنتى العضوي لمياه الصرف الصحي هي الطلب الكيميائي الحيوي على الأوكسجين (BOD). يتم تطبيق هذا الاختبار على نطاق واسع لتعريف التلوث العضوي لمياه وضبط أداء محطات معالجة مياه الصرف الصحي. تم ترتيب الطرق الرياضية المختلفة لتحديد معلمات الطلب الأوكسجيني البيولوجي وطريقتين مختلفتين لاختبار BOD (مقاييس التنفس وطريقة التخفيف) بشكل مقارن. أيضاً، تم تطوير طريقة جديدة تعتمد على الشريحة الميكوبلاستيكية لتقدير القيم النهائية للطلب الأوكسجيني البيولوجي. تظهر النتائج التحليلية أن هناك علاقة بين قياس التنفس والتخفيف من قيم الطلب الأوكسجيني البيولوجي. توفر الطريقة عموماً نتائج متوقفة مع معاملات ارتباط عالية [6].
- البحث المقدم من قبل (Abdulaziz Sami Qambar) وآخرين في العام (2023) والذي تضمن إلقاء الضوء على فهم جديد لتنبؤات التعلم الآلي العالمية (ML) إلى نماذج لمحطات معالجة مياه الصرف الصحي. يقوم البحث على تقييم التنمية المحلية ونماذج التنبؤ العالمية للتنبؤ بالطلب على الأوكسجين الكيميائي الحيوي المؤثر في مياه الصرف الصحي (BOD5) في أربع محطات معالجة مياه الصرف الصحي. يقترح البحث تقدير إطار متكامل لتقنيات الاستشعار عن بعد والغابات العشوائية، والتعزيز التكيفي، وخوارزميات تعزيز التدرج. أظهرت النتائج أن النموذج المحلي المطور أقل من مدة نتائج اختبار BOD5 من خمسة أيام لثلاث ساعات فقط [5]. تضمن البحث المقدم مقارنة بين نموذجي تقدير الأوكسجين المذاب لحالتين هي النموذج الحالي من التلوث والنموذج الملوث وأظهرت النتائج تأثير مقدرات الأوكسجين المذاب بالتلوث الحاصل.

5. نموذج الطلب البيولوجي للأوكسجين (Biochemical Oxygen Demand Model (BODM))

الطلب على الأوكسجين الكيميائي الحيوي يمثل كمية الأوكسجين التي تستهلكها البكتيريا والكائنات الحية الدقيقة الأخرى أثناء تحللها للمواد العضوية في ظل الظروف الهوائية. تحتوي البحيرة أو التيار المشترك على كميات صغيرة من الأوكسجين على شكل أوكسجين المذاب (DO). الأوكسجين المذاب هو عنصر حاسم في المسطحات المائية الطبيعية ، ويحافظ على الحياة المائية وجودة الجمالية للداول والبحيرات والأنهر [2].

يتم قياس اضمحلال المواد العضوية في الماء على أنه طلب أوكسجين كيميائي حيوي. ومع ذلك، يمكن للضغط البيئية والعوامل الأخرى التي يسببها الإنسان أن تقلل من كمية الأوكسجين المذاب في الجسم المائي. يعد الطلب البيولوجي على الأوكسجين في الأساس مقاييساً لكمية الأوكسجين المطلوبة لإزالة النفايات العضوية من الماء في عملية التحلل بواسطة البكتيريا الهوائية. للامتثال لحدود الطلب الأوكسجيني البيولوجي، وتظهر الحاجة إلى تداخل الإنتاج التجاري والصناعات التحويلية لتنفيذ برنامج معالجة مياه الصرف الصحي أو التخلص منها بشكل صحي وسلامي. هناك عدد قليل من الطرق المعتمدة لتحديد الطلب البيولوجي على الأوكسجين، على الرغم من أن أحدها يستخدم بأغلبية ساحقة من قبل المجتمع التحليلي. وهي معروفة بالطرق القياسية (5210B).

تحلل هذه الطريقة الفرق في الأوكسجين المذاب من عينة لمدة خمسة أيام. حجم معروف من العينة يتم تسجيل محتواه الأولي من الأوكسجين المذاب وبعد فترة حضانة مدتها خمسة أيام عند (20) درجة مئوية، تتم إزالة العينة من الحاضنة ويتم أخذ محتوى الأوكسجين المذاب النهائي.

ثم يتم حساب قيمة الطلب الأوكسجيني البيولوجي من استهلاك وحجم العينة المستخدمة. تكون قراءات (DO) عادة في أجزاء في المليون (جزء في المليون). يشير ارتفاع الطلب الأوكسجيني البيولوجي إلى الحاجة إلى المزيد من الأوكسجين، مما يدل على انخفاض جودة المياه. يعني انخفاض الطلب الأوكسجيني البيولوجي أنه تتم إزالة كمية أقل من الأوكسجين من الماء، لذلك يكون الماء عادة أكثر نقاءً.

6. نموذج ستريت فلبيس لطلب الأوكسجين (Streeter-Phelps for BOD Model)

يُستخدم نموذج Streeter-Phelps في دراسة تلوث المياه كأداة لنموذج جودة المياه. يصف النموذج كيف يتناقص الأوكسجين المذاب (DO) في نهر أو مجاري على طول مسافة معينة عن طريق تدهور الطلب الكيميائي الحيوي على الأوكسجين (BOD). تم اشتراك النموذج من قبل (H. W. Streeter) وهو مهندس صحي و (Earle B. Phelps) وهو مستشار خدمة الصحة العامة الأمريكية، وذلك في العام (1925)، بناءً على بيانات ميدانية من نهر أو هايو.

وتم صياغة نموذجي الطلب وفقاً إلى الصيغة التالية [4]:

$$BOD(t) = BOD(0) * e^{-(k_d*t)} \quad (1)$$

$$DO(t) = DO(SAT) - \frac{k_d BOD(0) * e^{-k_d t}}{(k_r - k_d)} + \frac{k_d BOD(0) * e^{-k_r t}}{(k_r - k_d)} - (DO(SAT) - DO(0)) * e^{-k_r t} \quad (2)$$

بحيث ان:

(BOD) يمثل متطلبات الاوكسجين الحيوية

(DO) يمثل الاوكسجين الذائب في الماء

(k_r) يمثل المقدار نسبة اعادة الاوكسجين الى المياه مرة اخرى

(t) سرعة جريان المياه عند القياس

وان النماذج السابقة تعتمد في التقدير لمعلماتها على مصفوفة معلومات (Information matrix) الى (BOD) تمثل المشتقات الجزئية للنموذج (1) ولتكن:

$$x f_1 = \begin{bmatrix} \frac{\partial f_1(t_1)}{\partial k_d} & 0 \\ \frac{\partial f_1(t_2)}{\partial k_d} & 0 \\ \vdots & \vdots \\ \frac{\partial f_1(t_n)}{\partial k_d} & 0 \end{bmatrix} \quad (3)$$

بحيث ان ($\frac{\partial f_1(t_i)}{\partial k_d}$) تمثل المشتقات الجزئية للنموذج (1) وببعد نهائية كلية تمثل (n) وانها تساوي

$$\frac{\partial BOD(t_i)}{\partial k_d} = - BOD(0) * e^{-k_d t_i} * t_i$$

اما مصفوفة معلومات (Information matrix) الى (DO) تمثل المشتقات الجزئية للنموذج (2) ولتكن:

$$x f_2 = \begin{bmatrix} \frac{\partial f_1(t_1)}{\partial k_d} & \frac{\partial f_2(t_1)}{\partial k_r} \\ \frac{\partial f_1(t_2)}{\partial k_d} & \frac{\partial f_2(t_2)}{\partial k_r} \\ \vdots & \vdots \\ \frac{\partial f_1(t_n)}{\partial k_d} & \frac{\partial f_2(t_n)}{\partial k_r} \end{bmatrix} \quad (4)$$

وان ($\frac{\partial f_2(t_i)}{\partial k_r}$) تمثل المشتقات الجزئية للنموذج (2) وابعد نهائية كلية تمثل (n) وانها تساوي:

$$\begin{aligned} \frac{\partial DO(t_i)}{\partial k_d} \\ = 0 - \frac{(k_r - k_d) * [k_d BOD(0) * e^{-k_d t_i} * (-t) + e^{-k_d t_i} * BOD(0)] - BOD(0) * k_d * e^{-k_d t_i} * (-1)}{(k_r - k_d)^2} \\ + \frac{(k_r - k_d) BOD(0) * e^{-k_r t_i} - BOD(0) * k_d * e^{-k_r t_i} * (-1)}{(k_r - k_d)^2} - 0 \end{aligned}$$

بحيث ان:

(DO(SAT)) تمثل القيمة الابتدائية للتشبع بالاوكسجين الذائب

(DO(0)) تمثل القيمة الابتدائية لمتطلب الاوكسجين

7. مصفوفة التباين والتباين المشترك (Variance –Covariance Matrix)

ان مصفوفة التباين والتباين المشترك تمثل كم المعلومات التي يمكن الحصول عليها من عينة المياه واللازمة لتقدير الاوكسجين المذاب وبالتالي تحديد صلاحية اطلاق الدفعة المائية من عدمها ويمكن وضع الصيغة العامة لهذه المصفوفة ل تكون [1]:

$$\sum_k (t)_1 = \hat{\sigma}_1^2 (X'_1 X_1)^{-1} + \hat{\sigma}_2^2 (X'_2 X_2)^{-1} \quad (5)$$

بحيث ان:

($\hat{\sigma}_1^2$) يمثل تباين الدالة الاولى والتي توضح متطلبات الاوكسجين الحيوى (BOD)

($\hat{\sigma}_2^2$) يمثل تباين الدالة الثانية والتي توضح متطلبات الاوكسجين الذائب (DO)

($\sum_k (t)_1$) يمثل التباين الكلى لكل من (BOD&DO) من التغيرات الحاصل بينهما

8. تقدير متوسط مربعات الخطأ (Mean squared error estimation)

ان انموذج تقدير متطلبات الاوكسجين الذائب الصالح للحياة البيولوجية في المياه يمكن ان يتم من خلال طريقة المربعات الصغرى اللاخطية (Non-linear Ordinary Least Square Method) يتم الاعتماد في هذه الطريقة على التكرار للتقدير للموجة التالي [1]:

$$\underline{\vartheta} = [\vartheta_1 \ \vartheta_2 \ \dots \ \vartheta_p]^T \quad (6)$$

في كل مرحلة والوصول الى اقل خطأ ممكن عندها يمكن التوقف والوصول الى المقدرات اللاخطية النهائية وذلك بالاعتماد على الصيغة التالية:

$$S(\underline{\vartheta}) = \sum_{i=1}^n (y_i - \eta_i(\underline{\vartheta}))^2 \quad (7)$$

بحيث ان:

$$\eta_i(\underline{\vartheta}) = h(x_i; \underline{\vartheta})$$

وان الدالة ($S(\underline{\vartheta})$) هي الدالة واجبة التصغير ولموجة المشاهدات

$$\underline{y} = [y_1 \ y_2 \ \dots \ y_n]^T \quad (8)$$

هناك موجة يماثل

$$\underline{\eta}(\underline{\vartheta}) = [\eta_1(\underline{\vartheta}) \ \eta_2(\underline{\vartheta}) \ \dots \ \eta_n(\underline{\vartheta})]^T$$

وان:

$$\eta(\underline{\vartheta}) = \sum_{j=0}^k \beta_j x_j \quad (9)$$

وفي نموذجنا اعلاه فان (k=2) ولكون النموذج غير خطى فان

$$h(\underline{x}; \underline{\vartheta}) = \vartheta_1 e^{(1-\vartheta_2 x)}$$

9. نموذج متطلبات الاوكسجين الملوث (Polluted Biochemical Oxygen Demand Model)

يمثل هذا النموذج متطلبات الاوكسجين الذائب في المياه في ظل وجود ملوثات تؤثر سلبا على هذه النسب ويمكن كتابته كالتالي [5]:

$$PBOD(t) = BOD(t) + \zeta_1(t) \quad (10)$$

$$PDO(t) = DO(t) + \zeta_2(t) \quad (11)$$

بحيث ان:

(BOD(t)) يمثل متطلبات الاوكسجين الحيوية للنموذج غير الملوث

(DO(t)) يمثل الاوكسجين الذائب في الماء للنموذج غير الملوث

($\zeta_1(t)$) يمثل حد التلوث الاول

($\zeta_2(t)$) يمثل حد التلوث الثاني

(PBOD(t)) يمثل متطلبات الاوكسجين الحيوية للنموذج الملوث

(PDO(t)) يمثل الاوكسجين الذائب في الماء للنموذج الملوث

مع ملاحظة ان حدود التلوث اعلاه تم افتراض انها من النوع التجميعي ويمكن ان تكون من حاصل الضرب وان النماذج السابقة تعتمد في التقدير لمعلماتها على مصفوفة معلومات (Information matrix) الى (BOD) تمثل المشتقات الجزئية للنموذج (1) ولتكن:

$$x f_1 = \begin{bmatrix} \frac{\partial f_1(t_1)}{\partial k_d} & 0 \\ \frac{\partial f_1(t_2)}{\partial k_d} & 0 \\ \vdots & \vdots \\ \frac{\partial f_1(t_n)}{\partial k_d} & 0 \end{bmatrix} + \frac{\partial \zeta_1(t)}{\partial k_d} \quad (12)$$

حيث ان $\frac{\partial f_1(t_i)}{\partial k_d}$ تمثل المشتقات الجزئية للنموذج وبابعاد نهائية كلية تمثل (n) وانها تساوي

$$\frac{\partial BOD(t_i)}{\partial k_d} = -BOD(0) * e^{-k_d t_i} * t_i$$

$\frac{\partial \zeta_1(t)}{\partial k_d}$ تمثل المشتقات الجزئية لحد التلوث الاول وبابعاد (n)

اما مصفوفة معلومات (DO) تمثل المشتقات الجزئية للنموذج وتكون:

$$x f_2 = \begin{bmatrix} \frac{\partial f_1(t_1)}{\partial k_d} & \frac{\partial f_2(t_1)}{\partial k_r} \\ \frac{\partial f_1(t_2)}{\partial k_d} & \frac{\partial f_2(t_2)}{\partial k_r} \\ \vdots & \vdots \\ \frac{\partial f_1(t_n)}{\partial k_d} & \frac{\partial f_2(t_n)}{\partial k_r} \end{bmatrix} + \frac{\partial \zeta_2(t)}{\partial k_d} \quad (13)$$

وان $\frac{\partial f_1(t_i)}{\partial k_d}$ تمثل المشتقات الجزئية للنموذج (2) وابعاد نهائية كلية تمثل (n) وانها تساوي

$$\frac{\partial DO(t_i)}{\partial k_d} = 0 - \frac{(k_r - k_d) * [k_d BOD(0) * e^{-k_d t_i} * (-t) + e^{-k_d t_i} * BOD(0)] - BOD(0) * k_d * e^{-k_d t_i} * (-1)}{(k_r - k_d)^2} + \frac{(k_r - k_d) BOD(0) * e^{-k_r t_i} - BOD(0) * k_d * e^{-k_r t_i} * (-1)}{(k_r - k_d)^2} - 0$$

حيث ان:

(DO(SAT)) تمثل القيمة الابتدائية للتشبع بالاوكسجين الذائب

(DO(0)) تمثل القيمة الابتدائية لمتطلب الاوكسجين

$\frac{\partial \zeta_2(t)}{\partial k_d}$ تمثل المشتقات الجزئية لحد التلوث الثاني وبابعاد (n)

10. مصفوفة التباين والتباين المشترك (Variance –Covariance Matrix)

ان مصفوفة التباين والتباين المشترك تمثل كم المعلومات التي يمكن الحصول عليها من عينة المياه واللازمة لتقدير الاوكسجين المذاب وبالتالي تحديد صلاحية اطلاق الدفعة المائية من عدمها ويمكن وضع الصيغة العامة لهذه المصفوفة لتكون [6]:

$$\sum_k (t)_2 = \hat{\sigma}_1^2 (X'_1 X_1)^{-1} + \hat{\sigma}_2^2 (X'_2 X_2)^{-1} + \widehat{v\zeta}_1 (X'_1 X_2)^{-1} + \widehat{v\zeta}_2 (X'_2 X_1)^{-1} \quad (14)$$

حيث ان:

($\hat{\sigma}_1^2$) يمثل تباين الدالة الاولى والتي توضح متطلبات الاوكسجين الحيوي (BOD)

($\hat{\sigma}_2^2$) يمثل تباين الدالة الثانية والتي توضح متطلبات الاوكسجين الذائب (DO)

($\widehat{v\zeta}_1$) يمثل تباين حد التلوث الاول

($\widehat{v\zeta}_2$) يمثل تباين حد التلوث الثاني

($\sum_k (t)_2$) يمثل التباين الكلي لكل من (BOD&DO) مع حدود التلوث و التغير الحاصل بينها

11. نتائج البحث (Results of Research)

تم الحصول على النتائج الخاصة بالبحث حيث تم الاعتماد على بيانات تم جمعها من احدى محطات التصفية والخاصة بتصفيية مياه الصرف الصحي لمحافظة بغداد ولمدة اربعة ايام وتمثلت البيانات بقراءات كل من (t, BOD and DO) وتم الحصول على النتائج التالية:

جدول (1): يمثل المقررات ومتوسط مربعات الخطأ للأيام الاربعة ولبيانات غير الملوثة

	اليوم الاول	اليوم الثاني	اليوم الثالث	اليوم الرابع	المعدل
k₁	0.126924	0.213115	0.148155	0.172835	0.165257
BOD	1.940558	1.969144	1.984536	1.956074	1.962578
Mse	0.404109	0.405154	0.411031	0.478851	0.424786

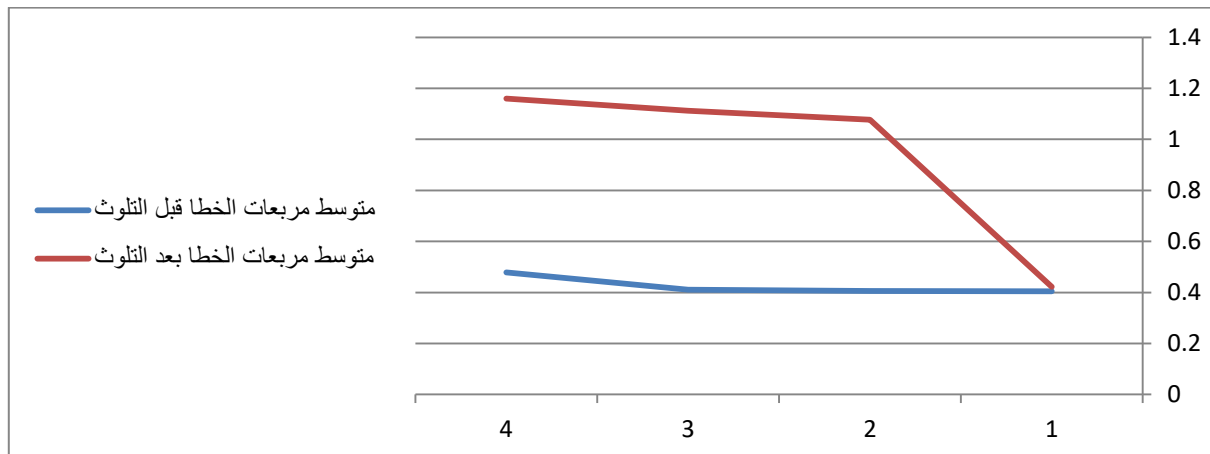
من الجدول (1) يتبيّن لنا ان قيم المقدرات ومتّوسط المربعات العائد لها كانت تتأثّر بيوم الدراسة وان متّوسط مربيعات الخطأ يزيد مع زيادة فترة البقاء وبالمعدل فان متّوسط مربيعات الخطأ بلغ (0.425) تقريباً

جدول (2): يمثل المقدرات ومتّوسط مربيعات الخطأ للأيام الاربعة وللبيانات الملوثة

	اليوم الاول	اليوم الثاني	اليوم الثالث	اليوم الرابع	المعدل
k_1	0.426121	0.678995	0.317453	0.480251	0.475705
BOD	2.142547	2.727846	2.348064	2.168559	2.346754
Mse	0.421569	1.076816	1.111886	1.159399	0.942417

من الجدول (2) يتبيّن لنا ان قيم المقدرات ومتّوسط المربعات العائد لها كانت تتأثّر بيوم الدراسة وان متّوسط مربيعات الخطأ يزيد مع زيادة فترة البقاء وبالمعدل فان متّوسط مربيعات الخطأ بلغ (0.425) تقريباً

وأنّ متّوسط مربيعات الخطأ كان يزداد مع وجود التلوث وبالمعدل فانه للأيام الاربعة فان متّوسط مربيعات الخطأ قد زاد مع وجود التلوث.



شكل (1): يمثل متّوسط مربيعات الخطأ للحالتين قبل التلوث وبعد التلوث

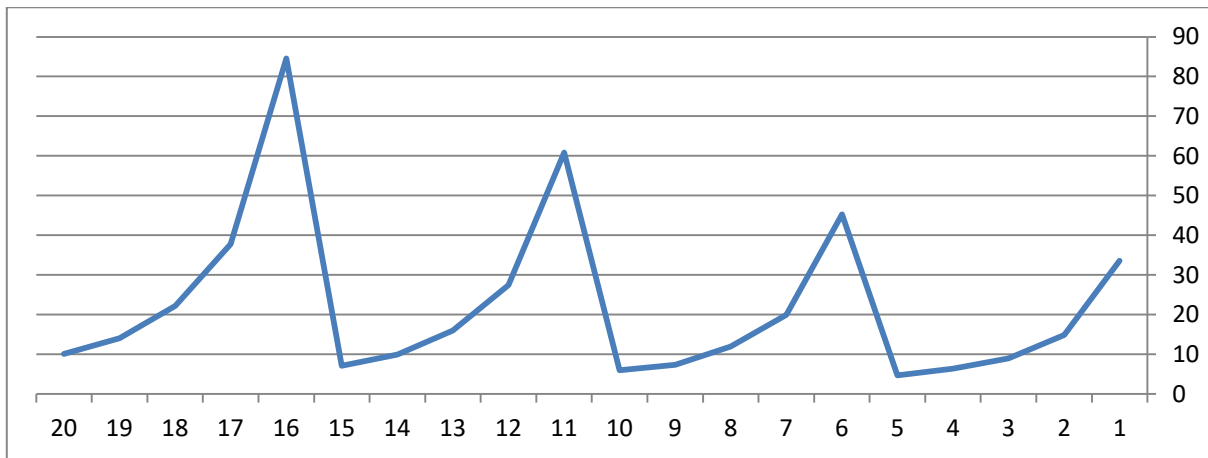
من الشكل (1) يتبيّن انه وللأيام الاربعة كان متّوسط مربيعات الخطأ للبيانات الملوثة اكبر منه للبيانات قبل التلوث

جدول (3): يمثل قيمة المحدد لمصفوفة المعلومات لكل من البيانات قبل وبعد التلوث ولعدد مختلف من العينات وللأيام الاربعة

قيمة المحدد بعد التلوث	قيمة المحدد قبل التلوث	عدد العينات	اليوم
33.28173	33.59355	2	اليوم الاول
14.88288	14.90697	3	
8.443289	9.004929	4	
5.462676	6.370655	5	
3.843578	4.702999	6	
44.44737	45.29376	2	
19.84669	19.984	3	اليوم الثاني
11.23646	11.93134	4	
7.251145	7.379364	5	
5.086286	5.972379	6	
60.62661	60.8465	2	
27.04234	27.4401	3	
15.28785	16.01995	4	اليوم الثالث
9.847194	9.947401	5	
6.891778	7.119744	6	
84.24632	84.55922	2	
37.54775	37.76105	3	
21.20325	22.1861	4	
13.63808	14.05401	5	اليوم الرابع
9.528603	10.1103	6	

نلاحظ ان قيمة المحدد تتأثر بعدد العينات وعدد ايام الدراسة وكذلك بالمقارنة بين قيمتي المحدد قبل التلوث وبعد التلوث

فلاجح وجود اختلاف في قيم المحددات. الشكل (2) يمثل قيمة المحدد لمصفوفة المعلومات لكل من البيانات قبل التلوث ولعدد مختلف من العينات وللأيام الاربعة.



شكل (2): قيمة المحدد لمصفوفة المعلومات لكل من البيانات قبل التلوث ولعدد مختلف من العينات وللأيام الاربعة من الشكل (2) نلاحظ انه للبيانات غير الملوثة فان قيمة المحدد تزداد مع زيادة عدد الايام ويقل مع زيادة عدد العينات المسحوبة من الدفعه قبل القرار

12. الاستنتاجات والتوصيات (Suggestions and Conclusions)

1. ان قيم المقدرات تتأثر بعدد العينات المسحوبة للدفعه المائية
2. ان متوسط مربعات الخطأ يتاثر بتلوث الدفعه المائية وبالتالي تكون المقدرات ابعد عن القيم الحقيقية
3. تأثر قيم المقدرات ومتناصف المربعات العائدة لها بفترة بقاء الدفعه المائية
4. وجود حاجة لتقدير متطلبات الاوكسجين مع الاخذ بنظر الاعتبار كل من (فترة بقاء الدفعه، عدد العينات المسحوبة، تلوث الدفعه المائية)
5. هنالك حاجة وضرورة قصوى ان نأخذ بنظر الاعتبار سرعة جريان الماء عند الاختبار وملحوظة مدى تأثر قيم المقدرات بسرعة جريان الماء.
6. تقدير قيم المقدرات بطريقة الامكان الاعظم والطريقة البيزية والمقارنة مع المقدرات الحالية
7. ضرورة نصب محطات فحص للدفعات المائية قبل الاطلاق للانهار وذلك حرصا على البيئة

المصادر (References)

- [1] Ammary BY, Al-Samrraie LaA. "Evaluation and comparison of methods used for the determination of BOD first-order model coefficients". International Journal of Environment and Waste Management. 2014;13(4):362-75.
- [2] Haider H, Ali W. "Development of dissolved oxygen model for a highly variable flow river: A case study of Ravi River in Pakistan". Environmental modeling & assessment. 2010;15(6):583-99.
- [3] Hur J, Lee B-M, Lee T-H, Park D-H. "Estimation of biological oxygen demand and chemical oxygen demand for combined sewer systems using synchronous fluorescence spectra". Sensors. 2010;10(4):2460-71.
- [4] Li J, Liu H, Li Y, Mei K, Dahlgren R, Zhang M. "Monitoring and modeling dissolved oxygen dynamics through continuous longitudinal sampling: a case study in Wen-Rui Tang River, Wenzhou, China". Hydrological Processes. 2013;27(24):3502-10.
- [5] Qambar AS, Al Khalidy MMM. "Development of local and global wastewater biochemical oxygen demand real-time prediction models using supervised machine learning algorithms". Engineering Applications of Artificial Intelligence. 2023;118:105709.
- [6] Sibil R, Berkun M, Bekiroglu S. "The comparison of different mathematical methods to determine the BOD parameters, a new developed method and impacts of these parameters variations on the design of WWTPs". Applied Mathematical Modelling. 2014;38(2):641-58.



AL- Rafidain
University College

PISSN: (1681-6870); EISSN: (2790-2293)

Journal of AL-Rafidain University College for Sciences

Available online at: <https://www.jrucs.iq>

JRUCS

Journal of AL-Rafidain
University College for
Sciences

The Effect of Pollution Rates on the Biological Oxygen Demand Model in Water Streams

Prof. Dr. Mahmood J. Abu Alshaeer

dean@ruc.edu.iq

Al Rafidain University College, Baghdad, Iraq

Assist. Prof. Dr. Nazar M. AL Sarraf

nazaralsarraf@ruc.edu.iq

Assist. Prof. Dr. Waleed A. Araheemah

dr.waleed@mtu.edu.iq

College of Technical Management - Middle Technical University, Baghdad, Iraq

Article Information

Article History:

Received: December, 17, 2022

Accepted: March, 3, 2023

Available Online: December, 31, 2023

Abstract

One of the significant models that may be used to determine if a water batch is suitable for release and suitable for supporting biological life is the biological oxygen demand model, or BOD. The percentage of biological oxygen demand in the water batch can be estimated using several estimation methods, including the non-linear ordinary least squares method and access to estimates closer to reality is crucial in determining the validity of the water batch and thus its release (Bayesian and Shrinkage) and comparing them with the current results.

Keywords:

Biological oxygen demand (BOD), demand model, Non-linear Ordinary Least Square Method, mean square error, water pollution.

Correspondence:

Assist. Prof. Dr. Waleed A. Araheemah
dr.waleed@mtu.edu.iq

<https://doi.org/10.55562/jrucs.v54i1.589>